

# НЕЛИНЕЙНАЯ ДИНАМИКА И ЧИСЛЕННОЕ МОДЕЛИРОВАНИЕ ЗАДАЧИ УПРАВЛЕНИЯ ОРБИТАЛЬНЫМ ДВИЖЕНИЕМ ЗАРЯЖЕННОГО КОСМИЧЕСКОГО АППАРАТА<sup>1</sup>

Клюшин М.А., Максименко М.В., Сахаров В.Ю., Тихонов А.А.

Санкт-Петербургский государственный университет, Санкт-Петербург, Россия  
st076414@student.spbu.ru, m.v.maksimenko@spbu.ru, v.sakharov@spbu.ru, a.tikhonov@spbu.ru

*Аннотация.* Исследуется влияние силы Лоренца на орбиту заряженного космического аппарата (КА) в околоземном пространстве. Выведена нелинейная система дифференциальных уравнений движения КА. На основе аналитического исследования дано объяснение выявленному путем компьютерного моделирования резонансному нарастанию координат КА. Для стабилизации орбиты КА построен ПИД-регулятор.

*Ключевые слова:* космический аппарат, электростатический заряд, геомагнитное поле, сила Лоренца, орбитальное движение, компьютерное моделирование, резонанс, управление, стабилизация.

## Введение

Явление электризации космических аппаратов (КА), движущихся в плазме околоземного пространства, является известным, и во многих случаях оно рассматривается как нежелательное. В условиях, когда проводящая поверхность КА, движущегося в плазмосфере Земли, приобретает потенциал порядка десятков тысяч вольт, могут происходить электрические разряды, вызывающие ложные срабатывания чувствительных микросхем, расположенных в бортовой аппаратуре [1]. Кроме того, взаимодействие заряда КА с магнитным полем Земли (МПЗ) может вызывать изменения в характере орбитального движения КА, на что обращалось внимание как в ранних публикациях [2], так и в более поздних [3].

Вместе с тем, имеются перспективные исследования, связанные с разработками систем активной электростатической защиты КА от ионизирующих излучений, основанные на использовании способности заряженной поверхности отклонять приближающиеся к ней одноименно заряженные частицы [4]. В связи с этим рассмотрение КА, несущих значительный электростатический заряд, приобретает особую актуальность, а изучение динамики таких КА, взаимодействующих с МПЗ посредством лоренцевых сил, становится перспективной задачей, важность которой отражается в публикациях ведущих космических центров мира [5, 6].

## 1. Математическая модель задачи

Рассмотрим движение КА, несущего постоянный электрический заряд  $q$ , в декартовой системе координат  $Oxyz$ . Начало этой системы совпадает с центром Земли, ось  $z$  направлена перпендикулярно плоскости невозмущенной кеплеровой орбиты, ось  $x$  лежит в экваториальной плоскости и направлена в восходящий узел орбиты, ось  $y$  дополняет систему до правой. В качестве модели МПЗ примем модель “прямого магнитного диполя” с вектором магнитной индукции  $\mathbf{B} = (B_0/r^5)(3(\mathbf{N} \cdot \mathbf{r})\mathbf{r} - r^2\mathbf{N})$ , где  $B_0 = 7.812 \cdot 10^{15} \text{ м}^3 \cdot \text{кг} \cdot \text{с}^{-2} \cdot \text{А}^{-1}$  – постоянная земного магнетизма,  $\mathbf{r} = (x, y, z)^T$  – радиус-вектор центра масс КА,  $\mathbf{N}$  – единичный вектор, направленный от географического северного полюса к южному. Обозначим  $\omega_e = 7.292 \cdot 10^{-5} \text{ рад/с}$  – величину угловой скорости суточного вращения Земли,  $\boldsymbol{\omega}_e$  – соответствующий вектор в системе  $Oxyz$ ,  $m$  – массу КА,  $\mu$  – гравитационный параметр Земли,  $i$  – наклонение невозмущенной кеплеровой орбиты.

В данном случае на КА действует гравитационная сила  $\mathbf{F}_g = -(\mu m/r^3)\mathbf{r}$  и сила Лоренца  $\mathbf{F}_L = q(\mathbf{v}_r \times \mathbf{B})$ , где  $\mathbf{v}_r = \dot{\mathbf{r}} - \boldsymbol{\omega}_e \times \mathbf{r}$  – скорость КА относительно Земли. В проекциях на оси системы координат  $Oxyz$  дифференциальные уравнения движения КА примут вид:

$$\ddot{x} = -\mu x/r^3 + a_{Lx}, \quad \ddot{y} = -\mu y/r^3 + a_{Ly}, \quad \ddot{z} = -\mu z/r^3 + a_{Lz}, \quad (1)$$

где

$$a_{Lx} = -(qB_0)/(mr^5) \cdot ((3z^2 - r^2)\dot{y} \cos i - (3y^2 - r^2)\dot{z} \sin i + 3yz(\dot{y} \sin i - \dot{z} \cos i) - \omega_e x(3(y \sin i + z \cos i)^2 - r^2)),$$

<sup>1</sup>Исследование выполнено за счет гранта Российского научного фонда № 24-41-02031, <https://rscf.ru/project/24-41-02031/>.

$$\begin{aligned}
a_{Ly} &= -(qB_0)/(mr^5) \cdot (3(y \sin i + z \cos i)(x\dot{z} - z\dot{x}) + r^2\dot{x} \cos i + 3\omega_e y(z^2 + x^2 \sin^2 i) + \\
&\quad + \omega_e(r^2(y \cos i + 2z \sin i) \cos i - 6yz(y \sin i + z \cos i) \cos i)), \\
a_{Lz} &= -(qB_0)/(mr^5) \cdot (3(y \sin i + z \cos i)(y\dot{x} - x\dot{y}) - r^2\dot{x} \sin i + 3\omega_e z(x^2 \cos^2 i - y^2) + \\
&\quad + \omega_e(r^2(2y \cos i + z \sin i) \sin i + 6yz(y \cos i - z \sin i) \cos i)).
\end{aligned}$$

Рассмотрим сферическую систему координат  $(r, \varphi, \theta)$ , где  $r$  – расстояние до начала координат,  $\varphi$  – азимутальный угол,  $\theta$  – угол наклона радиус-вектора по отношению к плоскости орбиты. Декартовы координаты  $(x, y, z)$  выражаются через сферические следующим образом:  $x = r \cos \theta \cos \varphi$ ,  $y = r \cos \theta \sin \varphi$ ,  $z = r \sin \theta$ . Считая  $|\theta| \ll 1$ ,  $|\dot{\theta}| \ll 1$  и пренебрегая членами второго порядка малости, получим частично линеаризованную систему дифференциальных уравнений, записанную в проекциях на орты сферической системы координат:

$$\ddot{r} - r\dot{\varphi}^2 = -\mu/r^2 - (qB_0)/(mr^2) \cdot (\omega_e \sin^2 i \cos^2 \varphi - \omega_e \theta \cos i \sin i \sin \varphi + (\dot{\varphi} - \omega_e \cos i) \theta \sin i \sin \varphi - (\dot{\varphi} - \omega_e \cos i) \cos i + \dot{\theta} \sin i \cos \varphi), \quad (2)$$

$$r\ddot{\varphi} + 2\dot{r}\dot{\varphi} = -(qB_0)/(mr^3) \cdot (2\omega_e r \sin^2 i \cos \varphi \sin \varphi + \dot{r} \cos i + 2\omega_e r \theta \cos i \sin i \cos \varphi + 2r\dot{\theta} \sin i \sin \varphi - \dot{r} \theta \sin i \sin \varphi), \quad (3)$$

$$r\ddot{\theta} + 2\dot{r}\dot{\theta} + r\dot{\varphi}^2 \theta = (qB_0)/(mr^3) \cdot (2\omega_e r \theta \sin^2 i \sin^2 \varphi + \dot{r} \sin i \cos \varphi + 2(\dot{\varphi} - \omega_e \cos i) r \sin i \sin \varphi + 2(\dot{\varphi} - \omega_e \cos i) r \theta \cos i). \quad (4)$$

## 2. Компьютерное моделирование

Исследуем орбитальное движение заряженного КА, выведенного на наклонную круговую орбиту. Пусть  $\Delta r = r - r_0$  – отклонение радиуса возмущенной орбиты от радиуса первоначальной круговой кеплеровой орбиты ( $r_0 = const$ ). Аналогично,  $\Delta \omega = \dot{\varphi} - \omega_0$  – отклонение величины орбитальной угловой скорости от постоянного значения  $\omega_0 = const$ . Проведем численное моделирование орбитального движения, заряженного КА в рамках нелинейной модели (1) с помощью программы, написанной на языке C++. В основе работы данной программы лежит метод Рунге-Кутты 4-го порядка [7].

Таблица 1. Значения величин, выбранных для численного интегрирования

Величина	$m$ , кг	$q$ , Кл	$\mu$ , км <sup>3</sup> /с <sup>2</sup>	$r_0$ , км	$\omega_0$ , рад/с	$i$ , °
Значение	100	0.001	398600.442	6800	0.0011259	50

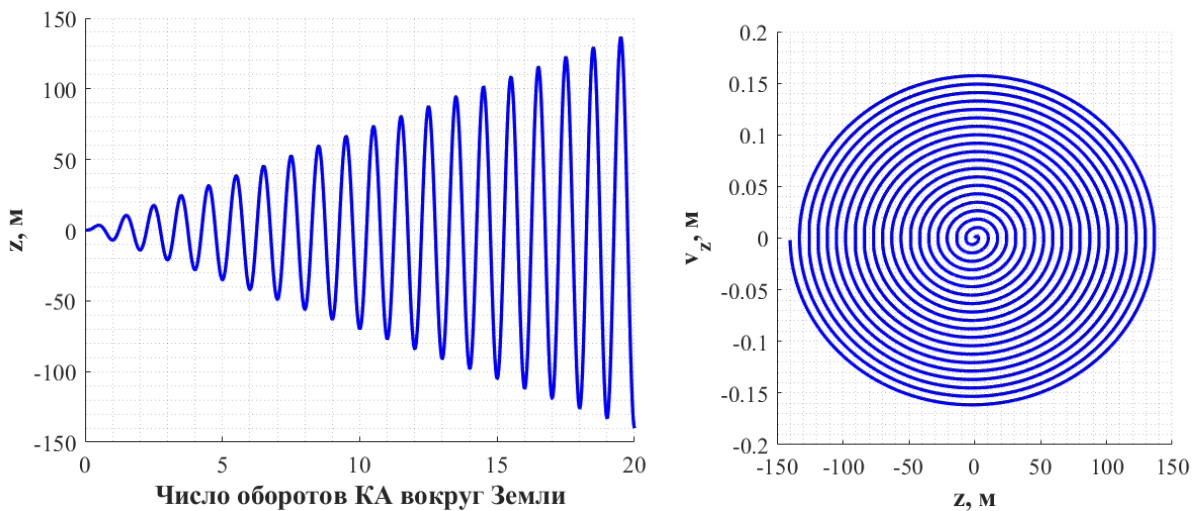


Рис. 1. Движение КА вдоль оси Oz

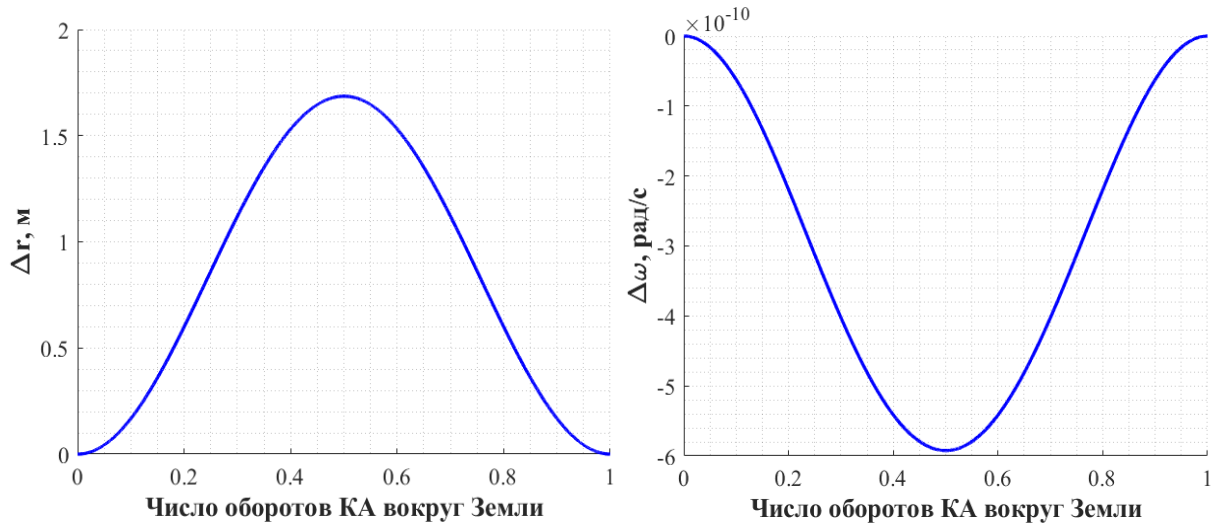


Рис. 2. Отклонения радиуса орбиты и величины орбитальной угловой скорости от постоянных значений

Анализ графика на рис. 1 показывает, что центр масс заряженного КА в процессе движения покидает плоскость исходной орбиты. На фазовой плоскости  $(z, \dot{z})$  этот процесс удаления центра масс КА от плоскости исходной орбиты описывается траекториями, характерными для неустойчивого фокуса. Отклонения величины радиус-вектора центра масс КА и орбитальной угловой скорости (рис. 2) от постоянных значений, имеющих место при отсутствии заряда, имеют периодический характер.

Таким образом, компьютерное моделирование выявило, что влияние МПЗ на заряженный КА приводит к эволюции орбиты КА. Для объяснения наблюдаемого эффекта займемся аналитическим исследованием системы дифференциальных уравнений движения.

### 3. Анализ дифференциальной системы

Проведенное численное исследование показало, что  $|\Delta r| \ll r_0, |\Delta \omega| \ll \omega_0$ , причем  $\Delta r$  и  $\Delta \omega$  меняются со временем. Введем безразмерные малые переменные, характеризующие отклонения параметров возмущенной орбиты от первоначальной кеплеровой:  $\rho = \Delta r/r_0$ ,  $\nu = \Delta \omega/\omega_0$ , а также безразмерное время  $\tau = \omega_0 t$ . Обозначим  $\gamma = \omega_e/\omega_0$ ,  $\varepsilon = qB_0/(mr_0^3 \omega_0)$ , ' – производную по  $\tau$ . В ходе компьютерного моделирования установлено, что  $\rho, \nu$  и  $\theta$  имеют порядок  $O(\varepsilon)$ . Тогда, пренебрегая в уравнениях движения (2)–(4) членами порядка  $O(\varepsilon^2)$ , получим:

$$\begin{cases} \rho'' - 3\rho - 2\nu = -\varepsilon\gamma \sin^2 i \cos^2 \tau + \varepsilon(1 - \gamma \cos i) \cos i, \\ \nu' + 2\rho' = -2\varepsilon\gamma \sin^2 i \cos \tau \sin \tau, \\ \theta'' + \theta = 2\varepsilon(1 - \gamma \cos i) \sin i \sin \tau. \end{cases} \quad (5)$$

Стоит отметить, что при  $\varepsilon = 0$  система (5) имеет тривиальное решение, поскольку отсутствуют возмущения, вызванные силой Лоренца. Нетрудно найти частное решение системы (5). Возвращаясь к размерным переменным, получим:

$$\begin{cases} \Delta r = (\varepsilon r_0 / (2\omega_0)) (2\omega_0 \cos i - 2\omega_e - \omega_e \sin^2 i) (1 - \cos(\omega_0 t)), \\ \Delta \omega = \varepsilon (2\omega_0 \cos i - 2\omega_e - \omega_e \sin^2 i) (\cos(\omega_0 t) - 1) - \varepsilon \omega_e \sin^2 i \sin^2(\omega_0 t), \\ \theta = -\varepsilon \sin i (\omega_0 - \omega_e \cos i) t \cos(\omega_0 t). \end{cases} \quad (6)$$

Оказывается, что в третьем уравнении системы (5) компонента возмущающей силы Лоренца действует на КА с частотой, совпадающей с частотой собственных колебаний КА по углу  $\theta$ , что приводит к главному резонансу и вызывает вековое увеличение (по абсолютной величине) угла отклонения центра масс КА от плоскости исходной орбиты. Можно заметить, что отклонения  $\Delta r$  и  $\Delta \omega$  имеют периодический характер и происходят с частотой, равной орбитальной угловой скорости при кеплеровом движении.

Проведем сравнение аналитического решения (6) с численным решением, представленным в предыдущем разделе на рис. 1 и рис. 2:

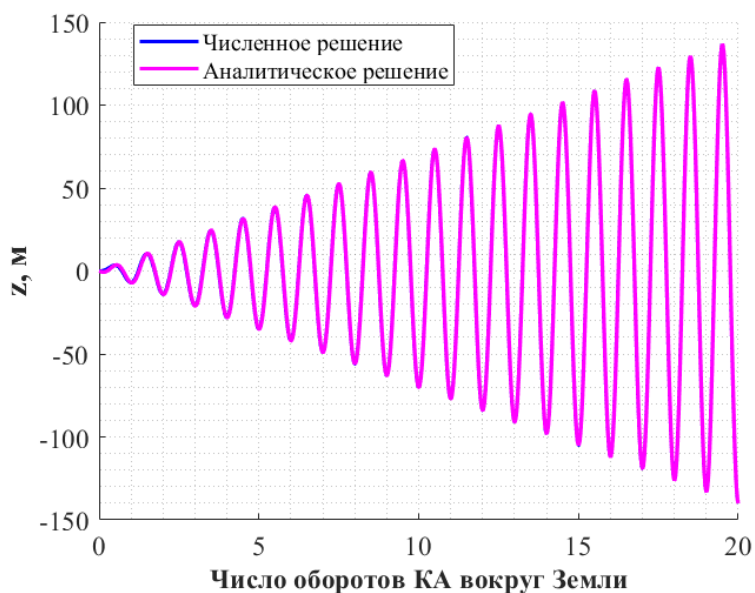


Рис. 3. Сравнение численного и аналитического решений

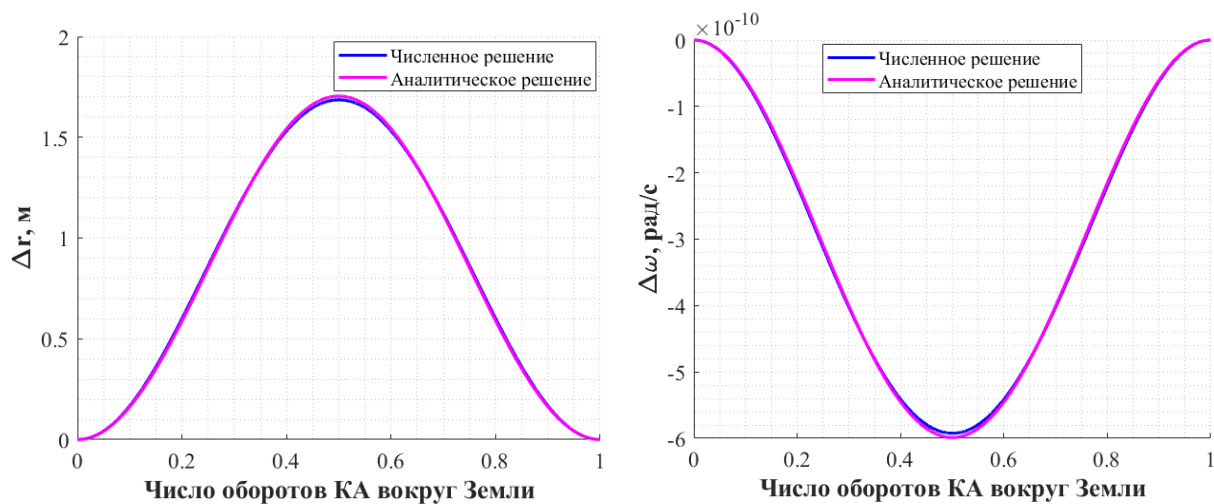


Рис. 4. Сравнение численного и аналитического решений

Анализ графиков на рис. 3 и рис. 4 показывает, что приближенное аналитическое решение и решение, полученное с помощью компьютерного моделирования, почти идеально совпадают.

Дополнительно были построены графики относительной ошибки для отклонений величины радиус-вектора  $\Delta r_{\text{ош}} = (\max|\Delta r_{\text{числ}} - \Delta r|) / \Delta r_{\text{числ}}$  и орбитальной угловой скорости  $\Delta \omega_{\text{ош}} = (\max|\Delta \omega_{\text{числ}} - \Delta \omega|) / \Delta \omega$  в зависимости от наклона исходной орбиты, где  $\Delta r_{\text{числ}}$  и  $\Delta \omega_{\text{числ}}$  – соответствующие численные решения.

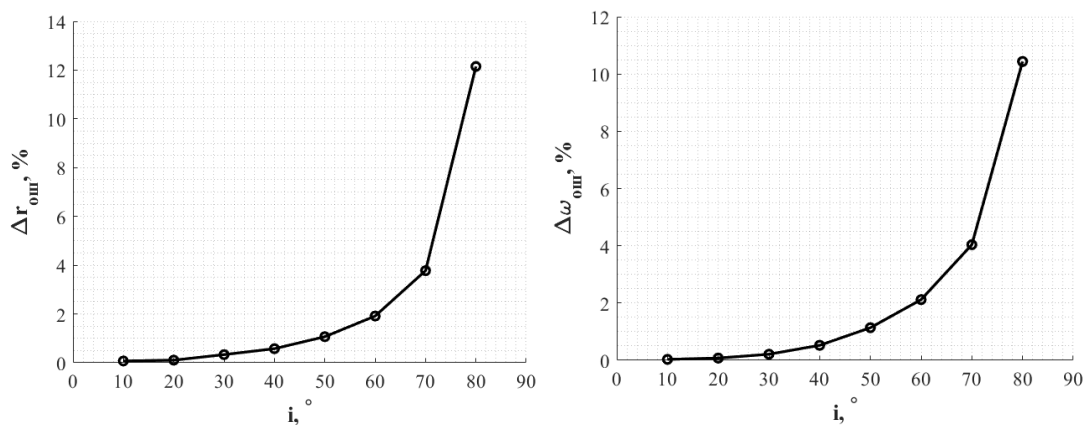


Рис. 5. Графики относительной ошибки

Как видно из графиков на рис. 5, с увеличением наклона орбиты происходит рост относительной ошибки, причем резкое увеличение происходит, начиная с наклона около  $70^\circ$ . Для орбит с меньшими наклонами ошибка составляет менее 4%, что вполне допустимо. Также следует заметить, что рост ошибки более, чем на 10%, в действительности не оказывает существенного влияния, поскольку отклонения рассматриваемых величин малы.

На данном этапе был выявлен и обоснован резонансный эффект, проявляющийся в постепенном нарастании амплитуды колебаний центра масс КА. Стоит отметить, что обнаруженные колебания приводят к значительному отдалению КА от первоначальной орбиты. Исходя из этого, имеет смысл рассмотрение задачи о стабилизации КА в плоскости орбиты.

#### 4. Управление орбитальным движением КА

Целью управления будем считать погашение колебаний центра масс КА вдоль оси  $Oz$ . Рассмотрим способ управления, основанный на применении ПИД-регулятора, структурная схема которого представлена на рис. 6.

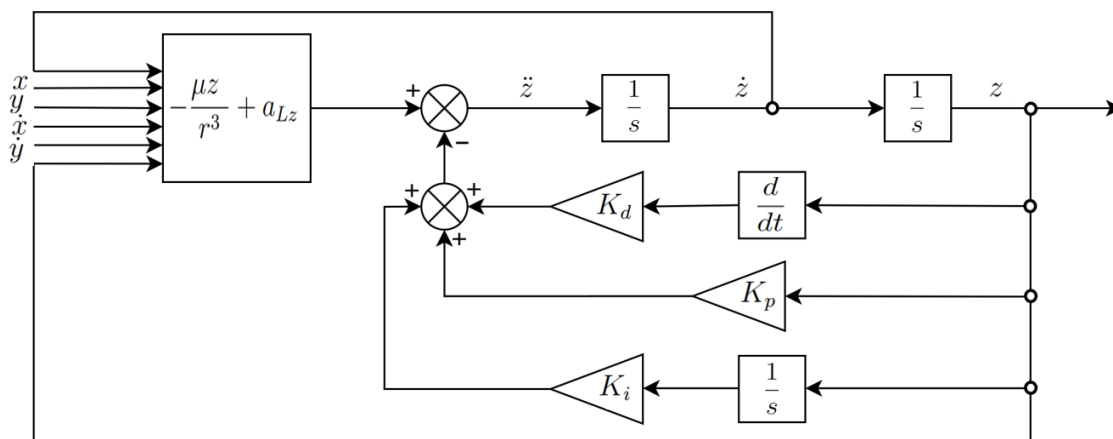


Рис. 6. Структурная схема ПИД-регулятора

Соответствующая дифференциальная система будет иметь следующий вид:

$$\ddot{x} = -\mu x/r^3 + a_{Lx}, \quad \ddot{y} = -\mu y/r^3 + a_{Ly}, \quad \ddot{z} = -\mu z/r^3 + a_{Lz} - K_p \dot{z} - K_i \int_0^t z dt - K_d \dot{z}, \quad (7)$$

где  $K_p, K_i$  и  $K_d$  – постоянные коэффициенты, находящиеся в нашем распоряжении. В ходе численных экспериментов были подобраны следующие коэффициенты:  $K_p = 5.5 \cdot 10^{-5} \text{c}^{-2}$ ,  $K_i = 1 \cdot 10^{-5} \text{c}^{-3}$ ,  $K_d = 1.7 \cdot 10^{-4} \text{c}^{-1}$ . Ниже приведены результаты численного интегрирования системы (7) со значениями величин из Таблицы 1.

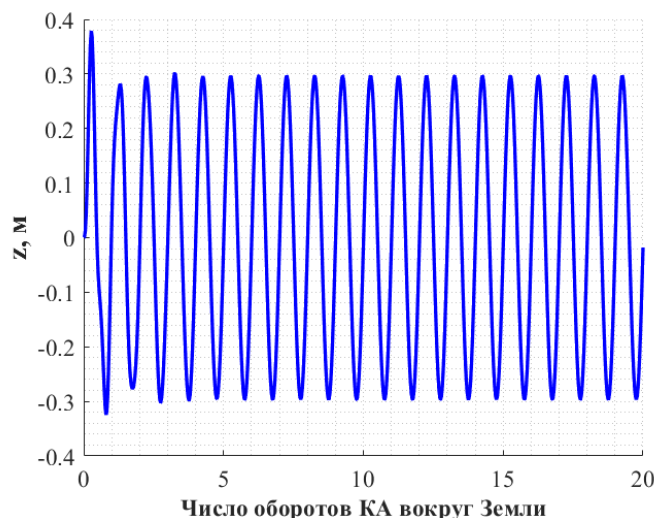


Рис. 7. Результат работы ПИД-регулятора

Как видно из графика на рис. 7, удалось добиться стабилизации центра масс КА в малой окрестности первоначальной орбиты. Детальное изучение процесса управления показало, что окончательная стабилизация КА достигается (в достаточной степени точности) на 15-м обороте вокруг Земли.

## 5. Заключение

Таким образом, в ходе проделанной работы было проведено компьютерное моделирование орбитального движения, заряженного КА в гравитационном и магнитном полях Земли на основе нелинейной системы дифференциальных уравнений. Было выявлено, что под влиянием геомагнитного поля происходит эволюция орбиты, заключающаяся в постепенном отдалении центра масс КА от плоскости исходной орбиты.

Проведенное аналитическое исследование дифференциальной системы обосновывает наблюдаемый эффект. Оказалось, что возмущающее воздействие силы Лоренца на КА оказывается резонансным и приводит к вековому изменению угла отклонения КА от плоскости невозмущенной орбиты. В поведении величины радиус-вектора и орбитальной угловой скорости подобного резонансного эффекта не наблюдается: их изменение носит периодический характер. Сравнение аналитического и численного решений показывает высокую точность компьютерного моделирования в рамках рассматриваемой математической модели.

Была поставлена задача о погашении колебаний центра масс КА вдоль оси, перпендикулярной плоскости первоначальной орбиты. Предложенное управление, основанное на применении ПИД-регулятора, обеспечивает стабилизацию КА в малой окрестности первоначальной орбиты.

## Литература

1. Любомудров А.А., Ефанов В.В., Горовцов В.В., Кузин Е.Н. Электромагнитные помехи, генерируемые в космическом аппарате при электризации // Вестник НПО им. С.А. Лавочкина. 2018. N 2. – С. 87–92.
2. Нестеренко О.П. Движение электрически заряженного спутника в магнитном поле Земли // Космические исследования. 1969. Т. 7, N 3. – С. 359–367.
3. Vokrouhlicky D. The geomagnetic effects on the motion of an electrically charged artificial satellite // Celestial Mech DynAstr. 1989. Vol. 46. – P. 85–104.
4. Рябова Т.Я. Электростатическая защита от космических излучений (Современное состояние и перспективы) // Космич. биолог. и авиакосмич. мед. 1983. Т. 17, N 2. – С. 4–7.
5. Pollock G.E., Gangestad J.W., Longuski J.M. Analytical solutions for the relative motion of spacecraft subject to Lorentz-force perturbations // Acta Astronautica. 2011. Vol. 68. – P. 204–217.
6. Huang X., Yan Y., Zhou Y. Dynamics and control of spacecraft hovering using the geomagnetic Lorentz force // Advances in Space Research. 2014. Vol. 53. – P. 518–531.
7. Иванов Д.С., Трофимов С.П., Ширококов М.Г. Численное моделирование орбитального и углового движения космических аппаратов / М.Ю.Овчинников. – М.: Изд-во ИПМ им. М. В. Келдыша, 2016. – 118 с.